



(11) RO 127329 B1

(51) Int.Cl.
F15B 13/044 (2006.01)

(12)

BREVET DE INVENȚIE

(21) Nr. cerere: **a 2011 00751**

(22) Data de depozit: **28.07.2011**

(45) Data publicării mențiunii acordării brevetului: **30.07.2014** BOPI nr. **7/2014**

(41) Data publicării cererii:
30.04.2012 BOPI nr. **4/2012**

(73) Titular:

- INSTITUTUL NAȚIONAL DE CERCETARE-DEZVOLTARE AEROSPAȚIALĂ "ELIE CARAFOLI" - INCAS BUCUREȘTI, BD.IULIU MANIU NR.220, SECTOR 6, BUCUREȘTI, B, RO

(72) Inventatori:

- URSU IOAN, STR.LIVIU REBREANU NR.20, BL.A 6, SC.4, ET.3, AP.45, SECTOR 3, BUCUREȘTI, B, RO;
- ARGHIR MINODOR, STR.ELENA VĂCĂRESCU NR.11, BL.21/3, SC.A, ET.1, AP.7, SECTOR 1, BUCUREȘTI, B, RO;

- TOADER ADRIAN, STR.UNIRII, BL.12, ET.3, AP.14, POGOANELE, BZ, RO;
- TECUCEANU GEORGE, STR.ISTRIEI NR.22, BL.3 D, SC.3, ET.2, AP.39, SECTOR 3, BUCUREȘTI, B, RO;
- CĂLINOIU CONSTANTIN, STR.ROŞIA MONTANĂ NR.15, BL.29, SC.2, AP.25, SECTOR 6, BUCUREȘTI, B, RO

(56) Documente din stadiul tehnicii:
US 5711712 (A); US 5737994 (A);
DE 102008050826 (A1);
WO 2009033948 (A1); EP 2322808 (A2)

(54) **SERVOACTUATOR ELECTROHIDROSTATIC PENTRU AVIAȚIE**

Examinator: ing. ENDES ANA MARIA



Orice persoană are dreptul să formuleze în scris și motivat, la OSIM, o cerere de revocare a brevetului de invenție, în termen de 6 luni de la publicarea mențiunii hotărârii de acordare a acesteia

RO 127329 B1

Invenția se referă la un servoactuator electrohidrostatic, cu urmărire în poziție și cu lege de reglare de tip neconvențional, neuro-fuzzy. Servoactuatorul este destinat, în principal, acțiunării suprafețelor de comandă ale avionului, dar poate fi utilizat în orice domeniu în care acțiunea hidraulică este lipsită de existență unei surse separate de presiune sau în montaje în care pierderea accidentală de ulei, pe traseul conductelor rigide sau flexibile, trebuie evitată, din diverse motive (cost, lipsă de spațiu, siguranță în exploatare).

În prezent, în comenziile avioanelor, se folosesc din ce în ce mai mult servoactuatori electrohidrostatici, din rațiuni de economisire a energiei, dar și ecologice, dacă se ia în considerare reducerea poluării cu bioxid de carbon, ca urmare a generării electrice a puterii hidraulice. Ca exemple de utilizare în comenziile avioanelor se dau: 1. Raportul NASA/TM-97-206224, privind performanțele unui servoactuator hidrostatic pe un avion de cercetare F-18, și 2. Brevetul US 5737994/14.04.1998, "Digital variable actuation system", privind un servoactuator hidrostatic cu controler al turăției pompei. Nu sunt cunoscute invenții românești, având ca obiect un servoactuator hidrostatic.

Există două tipuri de bază de servoactuatori electrohidraulici, considerând criteriul reglării debitului în sistem: prin intermediul unei servovalve electrohidraulice, racordată la o magistrală de putere hidraulică, sau prin intermediul unei pompe acționate de un motor, în cel de-al doilea caz, asigurându-se un circuit închis al debitului hidraulic. Primul tip este al servoactuatorului electrohidraulic, convențional, clasic, care prezintă avantajul unei constante de timp mai rapide, dar și dezavantaje majore precum pierderi energetice însemnate în servovalvă, cost ridicat, determinat, în special, de servovalva electrohidraulică, dependentă de puterea hidraulică, externă, furnizată, într-o magistrală, de o pompă acționată continuu de un motor, indiferent de faptul că actuatorul este sau nu este în mișcare.

Aceste dezavantaje sunt contracarate de servoactuatorul de-al doilea tip, numit electrohidrostatic, în care există o conectare directă a cilindrului de execuție la pompă, prin eliminarea servovalvei, iar sensul de rotație al pompei determină debitul în circuit închis pompă-cilindru de execuție și cilindru de execuție-pompă, deci și sensul de mișcare pentru tija de execuție. Cât privește dezavantajul cunoscut și asumat, pentru actuatorul hidrostatic, al unei viteze de răspuns relativ mai mici decât în cazul celui clasic, în cazul invenției de față, acest dezavantaj este redus sensibil, prin intermediul a două soluții tehnice de sinteză a legii de control: eliminarea unei bucle de reglare interne, pentru turăția motorului, și concepția unei bucle de reglare de urmărire în poziție, în care viteză sarcinii, la ieșirea servoactuatorului, se ponderează avantajos, ca pondere a unei rețele neuronale.

Un alt document relevant din stadiul tehnicii este cererea de brevet de inventie US 57117712, din data de 19.07.1996, cu titlul „Controler pentru transmisia automată a unui autovehicul”.

Controlerul pentru transmisia automată a unui autovehicul are menirea de a transmite automat informația și stabilește un raport de transmisie continuu, prin utilizarea datelor stocate, în funcție de poziția pedalei de gaz și viteză vehiculului. Prin folosirea circuitului logic de control fuzzy, viteză este setată automat, prin reglarea continuă a ratelor de transmisie, specifică unui raport de transmisie optim, a unui nivel minim de gaze de emisie evacuate sau a unei puteri maxime. Condiția de încărcare a motorului autovehiculului depinde de stilul de conducere, de tipul de drum, elemente care trebuie luate în calcul, în acest proces. Corecția circuitului atrage, după sine, o corecție dinamică a ratei de transmisie. Datele pot fi stocate, de exemplu, în niște hărți de caracteristici de control sau pot fi generate de un alt circuit logic de control fuzzy.

Problema tehnică, pe care o rezolvă invenția, este acțiunea suprafețelor de comandă ale avionului.

Servoactuator electrohidrostatic, pentru aviație, caracterizat prin accea că este alcătuit dintr-un hidroacumulator cu rezervor, o pompă cu capacitate constantă, cu roți dințate, bidirectională, acționată de un motor electric de curent continuu, fără perii, care, la rândul ei, acționează pe două căi, un cilindru de execuție cu piston, în condițiile în care un grup de supape de sens permite alimentarea alternativă, cu lichid hidraulic sub presiune, a celor două camere ale cilindrului de execuție, și un alt grup de supape asigură trecerea lichidului hidraulic, din calea cu presiunea cea mai mare, la un moment dat, dintre căile de comandă ale cilindrului de execuție, către o altă supapă de presiune, unică în sistem, ce limitează presiunea maximă, atinsă în cele două căi, și în care motorul electric este comandat prin intermediul unui semnal electric de control, determinat într-un bloc de calcul, pe baza unor informații de intrare-iesire, ale sistemului, informația de poziție fiind furnizată de un traductor de poziție.	1 3 5 7 9 11
Invenția prezintă următoarele avantaje:	
- se elimină, din schema funcțională, o componentă costisitoare, mai exact, servovalva electrohidraulică;	13
- se elimină dependența de putere hidraulică, externă, furnizată, într-o magistrală, de o pompă acționată continuu de un motor;	15
- se elimină bucla internă, de reglare a turării motorului și a pompei, buclă susceptibilă de a produce eroare staționară, de urmărire în poziție, răspuns lent și pierderi hidraulice.	17
Se dă, în continuare, un exemplu de realizare a invenției și în legătură cu figurile, în care:	19
- fig. 1 reprezintă schema hidraulică a servoactuatorului;	21
- fig. 1' reprezintă schema generală a servoactuatorului electrohidrostatic, pentru aviație, cu lege neconvențională de reglare de poziție;	23
- fig. 2 reprezintă schema bloc a unui actuator hidrostatic, conform referinței Simpson et al., 2004;	25
- fig. 3 reprezintă schema bloc a servoactuatorului electrohidrostatic, conform invenției;	27
- fig. 4 reprezintă algoritmul de control comutant neuro-fuzzy;	29
- fig. 5 reprezintă funcții caracteristice;	31
- fig. 6 reprezintă funcția Singleton, pentru controlul fuzzy;	33
- fig. 7 reprezintă înregistarea experimentală a răspunsului servoactuatorului de referință “superpoziție de sinusoide”;	35
- fig. 8 reprezintă blocul de calcul al legii de control de urmărire în poziție:	
a. blocul de calcul al buclei de urmărire de poziție, implementată în mediul de programare LabView;	37
b. secvența de calcul pentru algoritmul comutant neuro-fuzzy.	41
Servoactuatorul electrohidrostatic pentru aviație este un sistem în circuit hidraulic închis, în care hidroacumulatorul cu rezervor 3, presurizat, după alimentarea, cu lichid hidraulic, a sistemului, compensează pierderile hidraulice, atenuază pulsăriile de presiune și asigură evitarea funcționării pompei cu capacitate constantă, cu roți dințate 1, în regim de cavitație, altfel foarte posibil, odată cu variația altitudinii de zbor și/sau la modificarea temperaturii mediului ambient sau a temperaturii actuatorului în sine, din cauza funcționării. Presurizarea cu azot se face prin robinetul 8. Controlul valorilor prescrise în această operație se face, urmărind indicațiile unui manometru 11, montat, în mod special, în schemă. Alimentarea cu lichid hidraulic, precum și golirea instalației, se face prin robinetul 5. Pompa este bidirectională și este acționată de un motor electric de curent continuu, fără perii 6, cu turată și sensul variabile. Raccordul de drenaj, legat direct la hidroacumulator în punctul 9, înălțură pericolul presurizării periculoase a carcasei pompei, precum și al apariției aerului în pompă, fapt care ar duce la instabilități în funcționare și la întârzieri în răspuns. Grupul de supape de sens 4, conform	43 45 47

invenției, permite alimentarea alternativă, cu lichid hidraulic sub presiune, a celor două camere ale cilindrului de execuție 2, care acționează o sarcină 16, fig. 1, cu componente tipice, inertială, frecare vâscoasă și elastică. Grupul de supape 7, conform inventiei, asigură trecerea lichidului hidraulic din calea cu presiunea cea mai mare, existentă la un moment dat, în căile de comandă ale cilindrului de execuție 2, către supapa de presiune 10. Supapa este unică în sistem, conform inventiei, și limitează presiunea maximă, atinsă în cele două ramuri ale montajului. Supapa are, drept referință, presiunea cea mai joasă din sistem, adică presiunea din hidroacumulator. Sistemul permite utilizarea unui motor hidraulic, rotativ, în locul celui liniar.

Exemplu de funcționare. La sensul de funcționare stânga, al motorului și al pompei, se generează o presiune în ramura I, fapt care duce la deplasarea pistonului motorului hidraulic - în schiță, liniar - spre dreapta. La atingerea capătului de cursă sau la întâlnirea unei forțe care depășește capacitatele motorului, grupul de supape 7 face ca supapa de presiune 10 să protejeze această cale, fără să afecteze curgerea din ramura II. Dilatările lichidului hidraulic, ca urmare a fluctuațiilor de temperatură din timpul funcționării sau a variațiilor de temperatură ale mediului ambiant, sunt preluate de grupul de supape 4 și compensate prin transportul excesului de lichid în hidroacumulatorul 3. În acest timp, în racordul de admisie al pompei, intră lichidul ce trebuie evacuat din camera legată la ramura II, a motorului hidraulic și/sau lichid din hidroacumulator, dacă apare necesitatea compensării volumice.

La schimbarea sensului de rotație a grupului motor electric-pompă bidirecțională, funcționarea este identică și motorul hidraulic schimbă sensul de deplasare liniară sau rotativă. Similitudinea mișcărilor stânga-dreapta este dată de simetria celor două căi I și II.

Montajul se execută în sistem compact, în care conductele, care unesc elementele componente, sunt înlocuite cu circuite hidraulice, executate într-un bloc comun.

Este cunoscut că, în ceea ce privește concepția actuatorilor electrohidrostatici, există două tipuri de bază: 1. servoactuatori cu pompă cu capacitate constantă, acționată de un motor electric de curent continuu, fără perii, având o buclă, numită internă, de reglare a turăției, și 2. servoactuatori cu servopompă, o pompă de capacitate variabilă, acționată de un motor fără perii, de regulă, de curent alternativ, fără controlul turăției. Primul tip de bază de servoactuator presupune două bucle de reglare: una internă, prin intermediul căreia se controlează turăția motorului, în funcție de sarcină (se citează, ca exemplu de dată foarte recentă, European Patent Application EP 2322808 A2/18.05.2011), și alta externă, prin intermediul căreia se controlează poziția elementului de execuție, tija cilindrului, în cazul motorului liniar, sau unghiul de rotație, la ieșirea unui motor rotativ.

Servoactuatorul electrohidrostatic este de primul tip, în care, conform inventiei, se elimină bucla internă de reglare a turăției motorului și deci, și a pompei, fig. 2, buclă susceptibilă de a produce eroare staționară, de urmărire în poziție, răspuns lent și pierderi hidraulice. Această buclă este menționată ca fiind prezentă într-o serie de surse bibliografice, între care se citează: E. Simpson et al., "Effect of controller in reducing steady-state error due to flow and force disturbances in the electrohydraulic actuator system", *Intern. Journal of Fluid Power*, vol. 5, 2004, pp. 57-66; S. Wang et al., "Sliding mode control for an electrohydraulic system with discontinuous no-linear friction", *Proc. Inst. Mech. Eng., Part I, J. Syst. Contr. Eng.*, vol. 222, 2008, pp. 799-814; Cho și Burton, "Position control of high performance hydrostatic actuation system using a simple adaptive control (SAC) method", *Mechatronics*, vol. 21, 2011, pp. 109-115. În aceste lucrări, sunt descrise legi de control, de complexitate crescută, pentru bucla externă, legi care au, în principal, scopul de a compensa eroarea staționară de poziție și de a asigura un răspuns mai rapid pentru servoactuator ca sistem de urmărire în poziție.

Schema hidraulică, din fig. 1, este completată, în fig. 1', cu elementele buclei de urmărire în poziție și cu sarcina la ieșirea servoactuatorului. Bucla de urmărire în poziție generează un semnal de reacție inversă (feedback), calculat, conform inventiei, în blocul 14, de calcul al legii de control, fig. 1' și 3, pe baza unei metode neconvenționale, aparținând inteligenței artificiale, și anume, metoda controlului optimal cu rețea neuronală, supervizat de o logică fuzzy, de prevenire a saturării semnalului de control. Arhitectura sistemului, conform inventiei, este dată în fig. 3 și se constituie din următoarele elemente:

1. un motor electric 6, fără perii, de curent continuu, comandat de semnalul electric de control u , furnizat la intrarea driverului 15, măsurat în V [Volti], prin care se generează, la ieșirea motorului, o turație ω (rad/sec), transmisă rigid pompei 1, fig. 1, 1' și 3. Blocul de reglare a turației pompei, prezent în schema uzuală a servoactuatorului hidrostatic, fig. 2, dispare din schema servoactuatorului, fig. 3, conform inventiei, ceea ce reprezintă o simplificare notabilă;

2. o pompă bidirectională 1, cu roți dințate, antrenată de un motor 6, fig. 1, 1' și 3. Un circuit hidrostatic, care cuprinde, conform inventiei și notațiilor din fig. 1, un cilindru de execuție 2 și elementele auxiliare, următoare: un grup de supape de sens 4, un grup de supape 7, o supapă de presiune 10 și un hidroacumulator;

3. cilindrul de execuție sau, alternativ, un motor hidraulic, rotativ, care înlocuiește, în schema din fig. 1, un cilindru de execuție 2, antrenează o sarcină la ieșire, conform reprezentării schematicе din fig. 1';

4. o lege de control neuro-fuzzy, implementată pe un calculator echipat cu o placă de achiziție National Instruments NI PCI-6259, care se constituie, împreună cu blocul de calcul 14, fig. 1'. Legea de control elaborează semnalul u [V], pe baza măsurătorilor și calculelor intrare- ieșire, privind sistemul, și anume: a. eroarea măsurată $r - y$, dintre semnalul de referință r [V] 13, fig. 1', și semnalul de deplasare a sarcinii, y [V], furnizat de un traductor 12, de deplasare liniară (sau, după caz, unghiulară), fig. 3; b. viteza \dot{y} a sarcinii, calculabilă pe baza măsurătorilor succesive de deplasări y ; c. semnalul de control u . Legea de control, conform inventiei, este de tip comutant (fig. 4), între un control optimal u_n , definit de o rețea neuronală de tip perceptron cu un singur strat, și un control supervizant u_f , cu logică fuzzy. Componența de tip neural, a semnalului de control, este dată de relația:

$$u_n = v_1 y_1 + v_2 y_2, \quad y_1 = r - y, \quad y_2 = \dot{y} \quad (1)$$

Prin urmare, rețeaua neuronală are un singur strat și două intrări y_1 și y_2 . Se prezintă, în continuare, concepția algoritmului de calcul al componentei neurale u_n . În esență, algoritmul constă în actualizarea on-line a vectorului ponderilor pe control, $v=[v_1 \ v_2]^T$, în baza minimizării unei funcții de cost,

$$J = \frac{1}{2n} \sum_{i=1}^n \left(q_1 y_1^2(i) + y_2^2(i) + q_2 u_n^2(i) \right) := \frac{1}{2n} \sum_{i=1}^n J(i) \quad (2)$$

deci, în baza "negocierii" între indicatorii performanței de urmărire y_1 și y_2 , și controlul u_n . Raportul dintre valorile componentelor perechii de ponderi alese off-line, în funcția de cost (q_1 și q_2), măsoară această negociere, respectiv, accentul care se pune, în proces, pe minimizarea uneia sau a alteia dintre componente ale costului. Vectorul ponderilor pe control $v=(v_1 \ v_2)^T$ este actualizat on-line, prin metoda gradientului descendente:

$$\Delta v(n) := - \begin{bmatrix} \delta_1 & 0 \\ 0 & \delta_2 \end{bmatrix} \frac{\partial J}{\partial v_{(n)}} = - \begin{bmatrix} \delta_1 & 0 \\ 0 & \delta_2 \end{bmatrix} \sum_{i=n-N}^n \left(\frac{\partial J(i)}{\partial y(i)} \frac{\partial y(i)}{\partial u(i)} + \frac{\partial J(i)}{\partial u(i)} \right) \frac{\partial u(i)}{\partial v(i)} \quad (3)$$

Ideea acestei metode este cunoscută în tehnica optimizărilor, aceea de a adopta acea actualizare care să conducă la variația descendentală, deci descrescătoare, a costului. Altă pereche de ponderi, introdusă de matricea diagonală, $\text{diag} = [\delta_1, \delta_2]$, caracterizează rata de actualizare ("învățare"). Influența acestor ponderi se evaluează pe parcursul simulărilor numerice, pentru a obține o "învățare" convenabilă, în conducederea procesului fizic, suficient de rapidă, dar nu atât de rapidă, încât să riște instabilitatea sistemului și/sau saturația controlului. $\Delta v(n)$ este valoarea actualizării, N reprezintă un număr de pași de "retro-memorare", iar $y = (y_1, y_2)^T$ este vectorul intrărilor în rețea.

Algoritmul de calcul al componentei neurale u_n este ilustrat schematic în ramura din stânga a fig. 4. În fereastra respectivă, se notează pașii algoritmului. La un pas generic de timp $k\tau$, cu τ pasul de eşantionare și $k = 1, 2, \dots$, se dispune de semnalul de control care a operat pe intervalul de timp $((k - 1)\tau, k\tau)$. Aceasta este un produs scalar între vectorul curent al ponderilor v și vectorul curent y , anume:

$$u_n((k - 1)\tau) := u_n(k - 1) = v(k - 1)^T y(k - 1).$$

În continuare, este descris calculul componentei neurale pentru intervalul de timp $[k\tau, (k + 1)\tau]$. În acest scop, aşa cum s-a arătat mai sus, se actualizează vectorul ponderilor, $v \rightarrow v + \Delta v$, pe baza metodei gradientului descendental, $\Delta v = -\text{diag}(\delta_1, \delta_2) \frac{\partial J}{\partial v(k)}$.

Detaliile acestui calcul sunt prezentate în fig. 8a, ca bloc de calcul implementat în mediul LabView, și în fig. 8b, ca secvență de calcul Matlab Simulink, încorporată în mediul de programare LabView. Algoritmice, transcrierea calculului din rândul al doilea al relației 3 este următoarea:

$$\Delta v = - \left(2q_1 y_1(k) \frac{y_1(k) - y_1(k-1)}{u_n(k) - u_n(k-1)} + 2y_2(k) \frac{y_2(k) - y_2(k-1)}{u_n(k) - u_n(k-1)} + 2q_2 u_n(k) \right) \begin{bmatrix} \delta_1 & y_1(k) \\ \delta_2 & y_2(k) \end{bmatrix} \quad (4)$$

Astfel, actualizarea ponderii necesită doar informații de măsurare și calcul intrare-iesire ale sistemului, derivata $\partial y(i)/\partial u(i)$ din relația 3, fiind aproximată în relația 4, prin relația:

$$(y(i)y(i-1))/(u(i) - u(i-1)) \quad (4')$$

Valoarea controlului neural, care urmează să opereze pe intervalul $[k\tau, (k + 1)\tau]$ este, în consecință, aceea indicată în fereastra din fig. 4, și anume:

$u_n(k\tau) := u_n(k) = (v(k-1) + \Delta v)^T y(k)$. La startul algoritmului, se asumă o inițializare a vectorului ponderilor $v^{(0)}$, această valoare fiind importantă în desfășurarea procesului controlat, aşa cum au arătat simulările numerice și testele pe banc.

Legea de control optimală cu rețea neuronală (1) comută, de pe componenta neurală u_n , pe o componentă de control cu logică fuzzy u_f și, invers, de pe componenta u_f , pe componenta u_n , în condiții definite, conform inventiei, de legea de comutare descrisă în relația 9, de mai jos. Comutarea este în legătură cu saturația controlului neural și cu o dinamică, apreciată ca nesatisfătoare, a contracarării, prin control, a erorii de urmărire y_1 .

Legea de control cu logică fuzzy, de tip Mamdani, conform invenției, moderează aşadar semnalul de control la valori admisibile și se bazează pe evaluarea ca mulțimi fuzzy (vagi), definite prin universuri lingvistice ("mic", "mare", "mediu", "zero"), a semnalelor $r - y_1, y_2, u$, precum și a unui al patrulea semnal, care măsoară viteza de anulare a semnalului de eroare y_1 .

Controlul cu logică fuzzy de tip Mamdani presupune trei etape ale calculului: *fuzzyficarea informației, inferența fuzzy și defuzzyficarea*. În etapa de *fuzzyficare*, semnalele:

$$l_2(y_{ik}) := \sqrt{\sum_{j=k-2}^k y_{1j}^2}, y_{1k}, y_{2k}, k = 1, 2, \dots \quad (5)$$

sunt transformate în valorile funcțiilor caracteristice ale variabilelor fuzzy relevante, folosind un set de termeni lingvistici: zero (ZE), pozitiv sau negativ mic (Pm, Nm), pozitiv sau negativ mediu (Pme, Nme), pozitiv sau negativ mare (Pma, Nma). Conform invenției, setul fuzzy și funcțiile caracteristice, asociate variabilelor y_1 și y_2 , sunt alese triunghiulare (fig. 5a), iar pentru variabilele l_2 și u , sunt alese ca funcții caracteristice de tip Singleton (fig. 5b și 6). În acest fel, considerarea normei l_2 , a semnalului y_1 , calculează, peste o fereastră glisantă de lungimea k , intervale de eşantionare, variația maximă a erorii de urmărire. Conform invenției, inserarea semnalului l_2 , în componenta fuzzy, va reduce numărul de comutări ale algoritmului.

Conform invenției, ideea construcției *inferenței fuzzy* este ideea proporționalității (directe) între semnalul de eroare y_1 și valoarea componentei de control fuzzy u_f . În consecință, baza de reguli de inferență conține $n = 4 \times 7 \times 7$ DACĂ..., ATUNCI... reguli, acestea fiind numărul de elemente ale produsului cartezian $A \times B \times B = C := \{Nma; Nme; Nm; ZE; Pm; Pme; Pma\}$. Aceste seturi sunt asociate cu seturile termenilor lingvistici, alese să definească funcțiile caracteristice pentru variabilele fuzzy $l_2(y_1)$, y_1 și, respectiv, y_2 . În consecință, succesiunea de reguli este următoarea: 1. DACĂ $l_2(y_1)$ este ZE și y_2 este Pma și y_1 este Pma, ATUNCI u_f este Pma; 2. DACĂ $l_2(y_1)$ este ZE și y_2 este Pma și y_1 este Pme, ATUNCI u_f este Pme; ... 7. DACĂ $l_2(y_1)$ este ZE și y_2 este Pma și y_1 este Nma, ATUNCI u_f este Nma; 8. DACĂ $l_2(y_1)$ este ZE și y_2 este Pme și y_1 este Pma, ATUNCI u_f este Pma; ... 196. DACĂ $l_2(y_1)$ este Pma și y_2 este Nma și y_1 este Nma, ATUNCI u_f este Nma.

Se alege o valoare τ a pasului de timp de eşantionare și se determină, prin măsurare și calcul, valorile scalate $l_2(y_{1k}), y_{1k}$ și y_{2k} , la fiecare pas de timp $t_k = k\tau$ ($k = 1, 2, \dots$). Acestor valori le corespund câte două ordonate în fig. 5 (nu vor fi obținute valori raționale prin măsurare sau calcul!), deci fiecăreia dintre cele trei variabile îi corespunde un număr de $M = 2^3$ combinații, care trebuie investigate. Cu aceste combinații, un număr de M reguli DACĂ..., ATUNCI... vor opera în forma:

DACĂ y_{1k} este B_i și y_{2k} este C_j , și $l_2(y_{ik})$ este A_p , ATUNCI u_{fk} este D_q , $i = 1, 2, \dots, M$ (6) (A_p, B_i, C_j, D_q sunt termeni lingvistici în relație cu seturile A, B, C, D și $D = B = C$, fig. 5 și 6). Etapa de *defuzzyficare* înseamnă transformarea acestor reguli într-o formulă de calcul a variabilei de ieșire, controlul u_f . În termeni de logică fuzzy, fiecare regulă 6 definește un set fuzzy $A_p \times B_i \times C_j \times D_q$ din spațiul produsului cartezian de intrare-ieșire $R_+ \times R^3$, a cărui funcție caracteristică poate fi definită ca:

$$\mu_{u_f} = \min[\mu_{B_i}(y_{1k}), \mu_{C_j}(y_{2k}), \mu_{A_p}(l_2(y_{1k})), \mu_{D_q}(u)], i=1, \dots, M \quad (7)$$

1 Pentru simplitate, funcția caracteristică de tip Singleton $\mu_{D_i}(u)$ a variabilei de control a
 3 fost înlocuită, în acest caz, cu u_i^0 abscisa Singletonului. În consecință, folosind: 1. fuzzyficarea
 5 Singleton pentru u_f , și 2. defuzzyficarea de tip mediere centrală, cele M reguli DACĂ...,
 ATUNCI... se convertesc, la fiecare pas de timp $k\tau$, în următoarea formulă, pentru calculul
 controlului fuzzy:

$$7 \quad u_f = \sum_{i=1}^M \mu_{u_i} u_i^0 / \sum_{i=1}^M \mu_{u_i} \quad (8)$$

9 Algoritmul operează în varianta cu logică fuzzy, în cazul în care controlul neural
 11 saturează sau când norma I_2 a erorii de urmărire y_1 , crește peste o valoare de prag. Controlul
 13 fuzzy u_f comută pe neurocontrolul u_n , în cazul în care acesta este nesaturat
 15 ($/ u_n \leq u_{n,max}$) și în cazul în care $I_2(y_1) \leq I_{2,min}$. În cazul când operează controlul fuzzy u_f , controlul
 neural u_n este continuu actualizat, ca și când ar fi operant, pe baza controlului fuzzy u_f . Scopul
 este acela de a se dispune, la momentul revenirii pe control neural, de o procedură de revenire.

17 Conform invenției, controlul general neuro-fuzzy u_{nf} al sistemului de tip comutant, este
 definit de legea de comutare următoare:

$$19 \quad \text{daca } \begin{cases} |u_n| \leq u_{n,max} \\ .\text{și.} \\ I_2(y_1) < I_{2,min} \end{cases} \quad \text{atunci } u_{nf} = u_n \quad (9)$$

21

$$23 \quad \text{altfel } u_{nf} = u_f$$

25 Legea de actualizare a ponderilor controlului neural u_n , când operează controlul fuzzy
 27 u_f , s-a stabilit conform invenției a fi următoarea:

$$29 \quad u_f = \sum_{i=1}^M \mu_{u_i} u_i^0 / \sum_{i=1}^M \mu_{u_i} \quad (10)$$

31 Fig. 7 prezintă o înregistrare experimentală a funcționării sistemului în prezența unui
 33 semnal de referință "combinație de semnale sinusoidale", iar fig. 8 prezintă blocul general de
 calcul al legii de control de urmărire în poziție.

Revendicări

1

1. Servoactuator electrohidrostatic, pentru aviație, **caracterizat prin accea că** este alcătuit dintr-un hidroacumulator cu rezervor (3), o pompă (1) cu capacitate constantă, cu roți dințate, bidirectională, acționată de un motor (6) electric de curent continuu, fără perii, care, la rândul ei, acționează, pe două căi (I și II), un cilindru (2) de execuție cu piston, în condițiile în care un grup de supape (4) de sens permite alimentarea alternativă, cu lichid hidraulic sub presiune, a celor două camere ale cilindrului (2) de execuție, și un alt grup de supape (7) asigură trecerea lichidului hidraulic din calea cu presiunea cea mai mare la un moment dat, dintre căile (I și II) de comandă ale cilindrului (2) de execuție, către o supapă (10) de presiune, unică în sistem, ce limitează presiunea maximă atinsă în cele două căi (I și II), și în care motorul (6) electric este comandat, prin intermediul unui semnal electric de control, determinat într-un bloc de calcul, pe baza unor informații de intrare- ieșire ale sistemului, informația de poziție fiind furnizată de un traductor de poziție (12). 3
5
7
9
11
13
2. Servoactuator electrohidrostatic, pentru aviație, conform revendicării 1, **caracterizat prin accea că** supapa de presiune (7) are racordul de return legat la hidroacumulator, asigurând o raportare consecventă a presiunii din cele două ramuri hidraulice (I și II), la o presiune unică de referință, din hidroacumulatorul cu rezervor (3). 15
17
3. Servoactuator electrohidrostatic, pentru aviație, conform revendicării 1, **caracterizat prin accea că** rezervorul (3) presurizat din compoziția hidroacumulatorului păstrează, pe linia de înaltă presiune și pe return, o presiune constantă, asigurând astfel evitarea funcționării pompei (1) în regim de cavitație. 19
21
4. Servoactuator electrohidrostatic, pentru aviație, conform revendicării 1, **caracterizat prin accea că** are o singură buclă de reacție, pentru urmărirea de poziție, informația de poziție fiind furnizată de un singur traductor (12) de poziție. 23
25
5. Servoactuator electrohidrostatic, pentru aviație, conform revendicărilor 1 și 4, **caracterizat prin accea că** bucla de urmărire de poziție este calculată pe baza unei legi de comutare neuro-fuzzy, în care sinteza optimală de tip rețea neuronală este supravegheată și preluată, în caz de saturație a semnalului, de sinteza cu logică fuzzy, de tip Mandani. 27
29

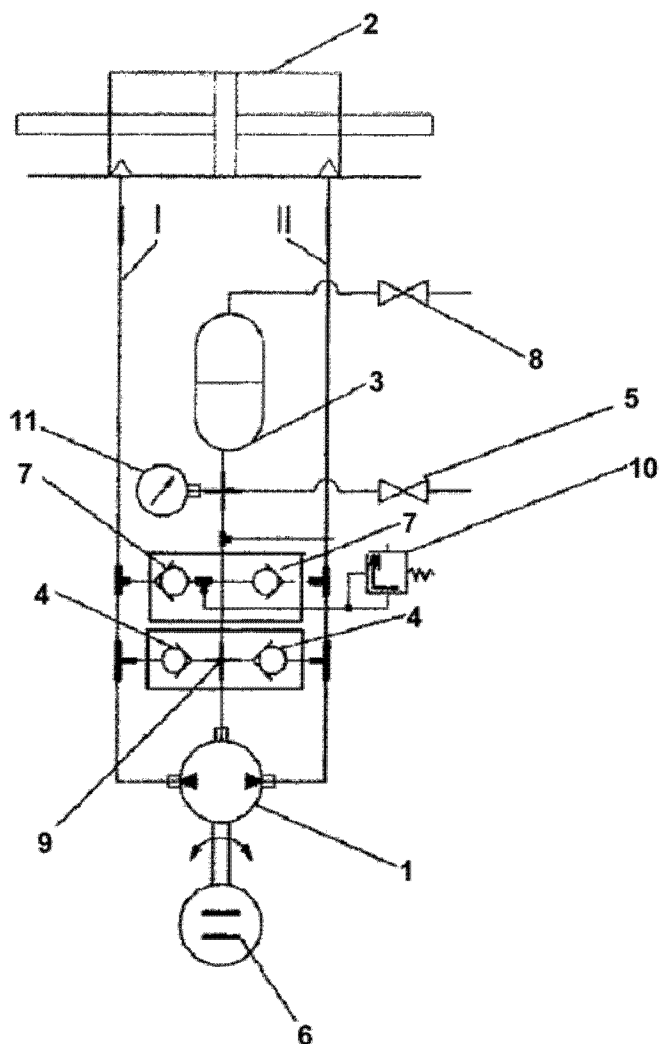


Fig. 1

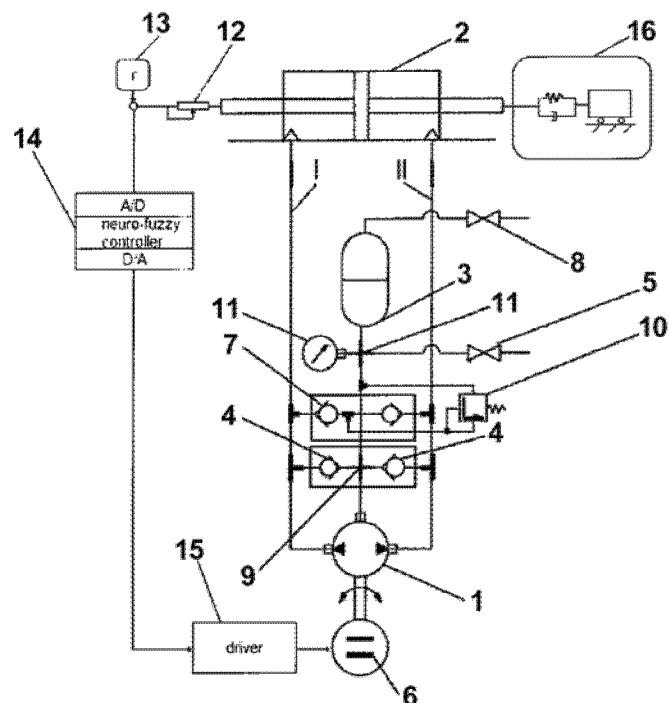


Fig. 1'

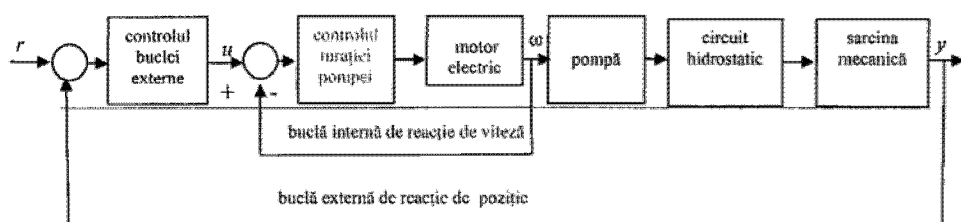


Fig. 2

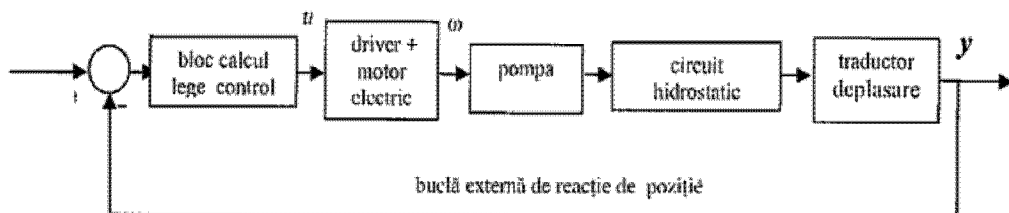


Fig. 3

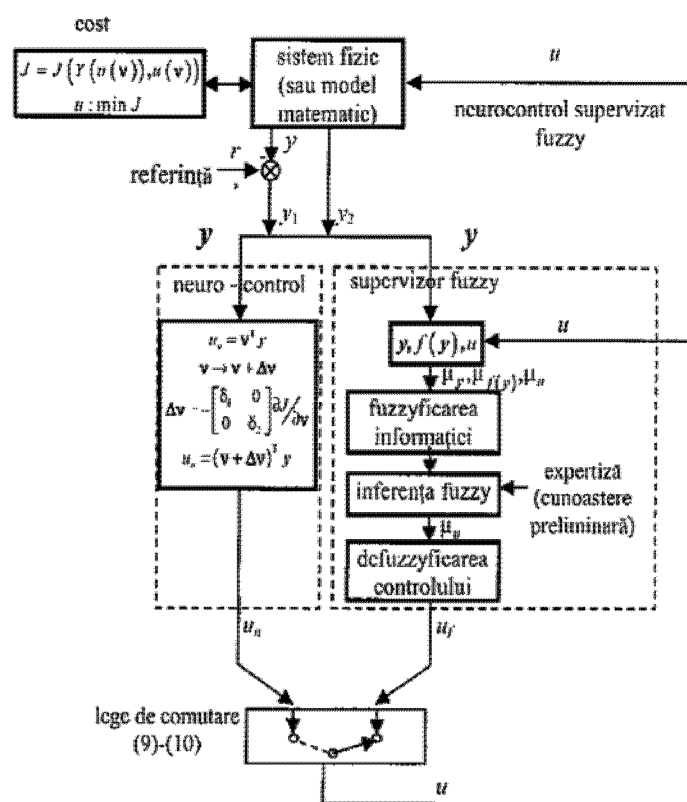


Fig. 4

RO 127329 B1

(51) Int.Cl.

F15B 13/044^(2006.01)

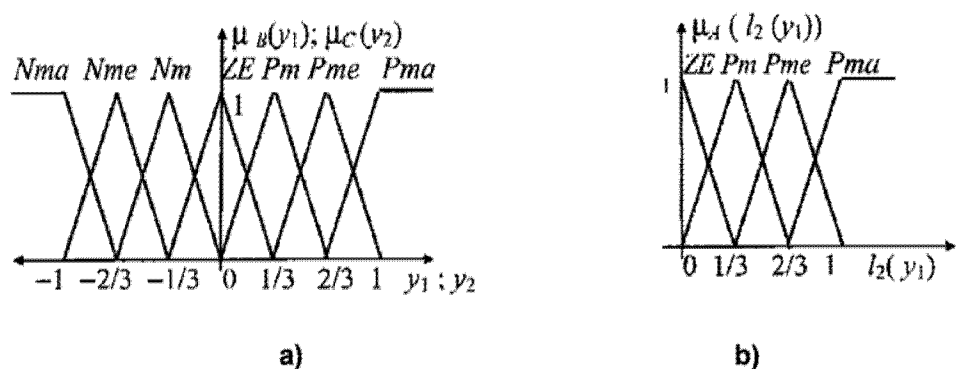


Fig. 5

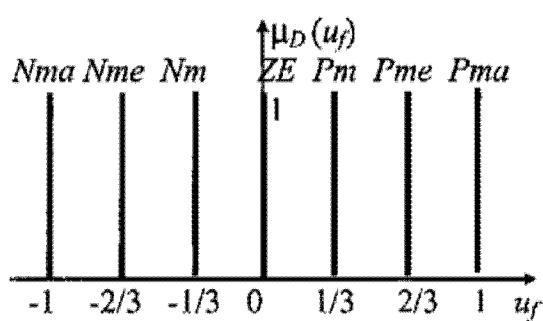


Fig. 6

RO 127329 B1

(51) Int.Cl.

F15B 13/044^(2006.01)

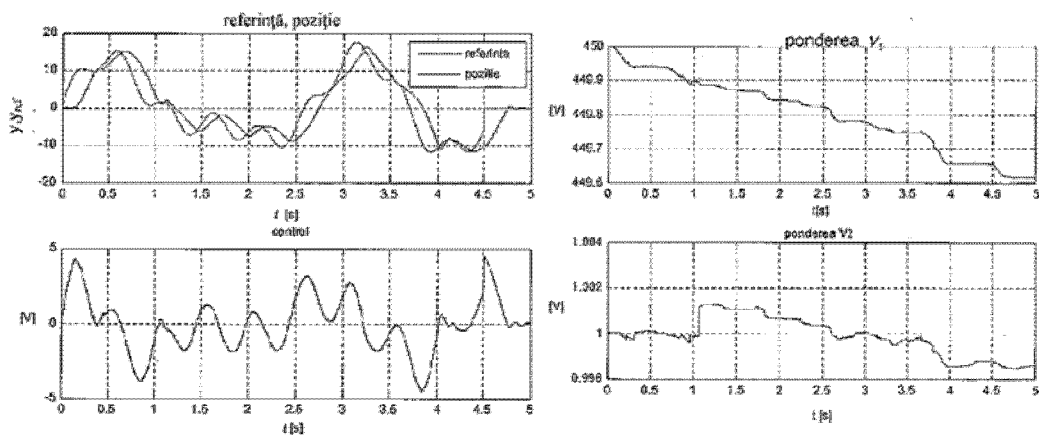


Fig. 7

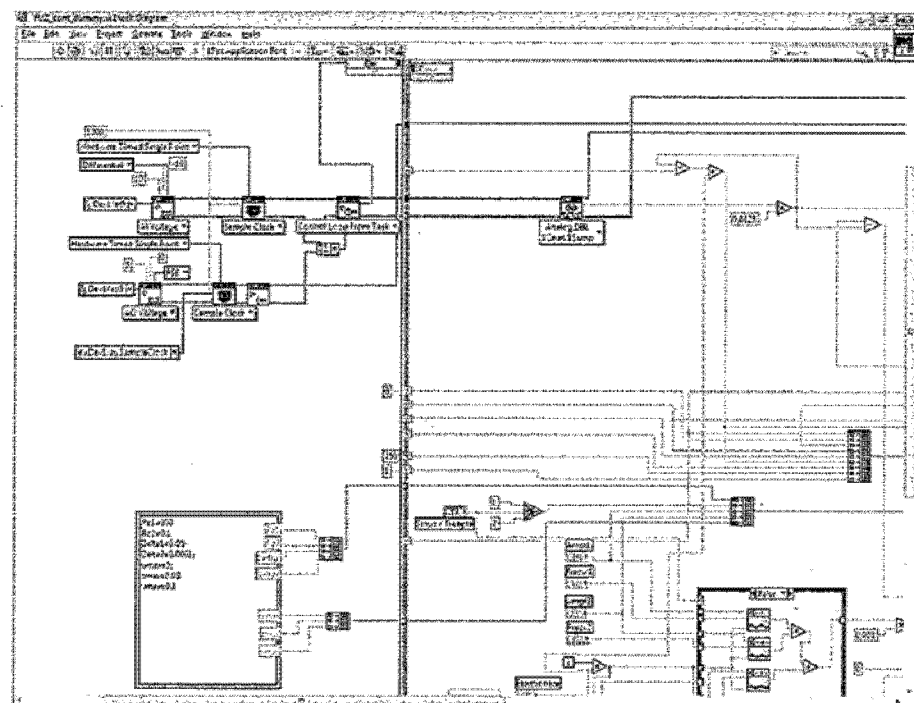


Fig. 8a

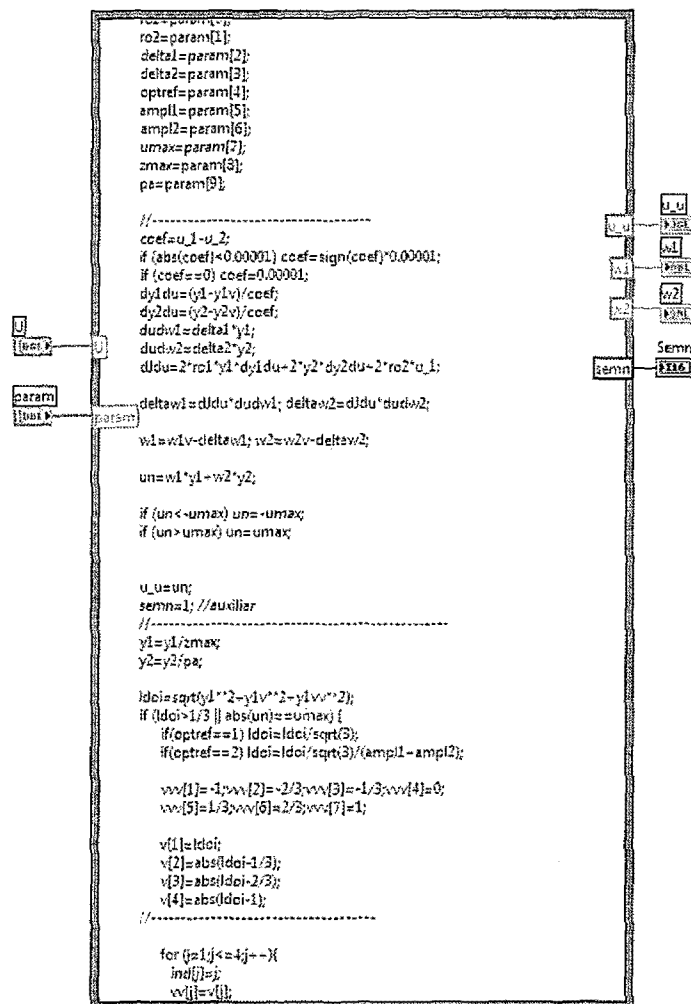


Fig. 8b

